

## КИНЕТИКА ЭФФЕКТА СТЕБЛЕРА—ВРОНСКОГО В НЕЛЕГИРОВАННЫХ ПЛЕНКАХ $a\text{-Si : H}$

Курова И. А., Мелешко Н. В., Ормонт Н. Н., Лупачева А. Н.

Исследована кинетика изменения фотопроводимости нелегированных пленок  $a\text{-Si : H}$  при освещении белым светом ( $W=100 \text{ мВт/см}^2$ ) в интервале температур  $200\text{--}425 \text{ К}$ .

Исследованиям кинетики эффекта Стеблера—Вронского в нелегированных пленках аморфного гидрированного кремния ( $a\text{-Si : H}$ ) посвящен ряд работ [1–5]. Методом измерения временных зависимостей собственной фотопроводимости или сигнала ЭПР при освещении пленок определялись закономерности кинетики образования фотоиндуцированных дефектов — оборванных связей кремния (ОС). В настоящее время в литературе обсуждаются два механизма образования ОС: механизм разрыва слабых связей кремния за счет энергии, выделяемой при безызлучательной рекомбинации, и механизм разрыва слабых связей после заряжения их в результате захвата носителя [6]. В этих работах обсуждается также вопрос об участии водорода в процессе возникновения ОС, однако определенных экспериментальных доказательств этого пока нет.

В настоящей работе исследовалась кинетика изменения фотопроводимости  $\sigma_{\phi}$  нелегированных пленок  $a\text{-Si : H}$  при освещении белым светом ( $W=100 \text{ мВт/см}^2$ ) в интервале температур  $200\text{--}425 \text{ К}$ . В [1] было показано, что изменение  $\sigma_{\phi}$  отражает изменение концентрации  $N$  оборванных связей:

$$\sigma_{\phi} = \frac{\beta}{N},$$

где коэффициент  $\beta$  постоянен для данных температуры и интенсивности освещения. Исследованные пленки были выращены методом осаждения в тлеющем ВЧ разряде при температуре подложки  $\approx 230 \text{ }^{\circ}\text{C}$ . Энергия активации темновой проводимости  $E_g$  для отожженных пленок составляла  $0.72\text{--}0.74 \text{ эВ}$ . Переизмерениями пленки отжигались при  $170 \text{ }^{\circ}\text{C}$  в течение 1 ч и затем охлаждались до температуры, при которой проводились освещение пленок и измерения кинетики изменения  $\sigma_{\phi}$ . На рис. 1 показана кинетика фотопроводимости  $\sigma_{\phi}$  нормированной к значению ее в начальный момент освещения  $\sigma_{\phi}(0)$ , при разных температурах пленки. Видно, что при  $\sigma' = \sigma_{\phi}(t)/\sigma_{\phi}(0) < 0.5$  наблюдается зависимость  $\sigma'(t) \sim t^{-1/2}$ , которая соответствует мономолекулярному процессу образования ОС:

$$\frac{dN}{dt} = \frac{C_d}{N}.$$

При интегрировании (2) с учетом (1) получаем

$$\frac{\sigma_{\phi}^2(0)}{\sigma_{\phi}^2(t)} - 1 = C_d \frac{\sigma_{\phi}^2(0)}{\beta^2} t = \frac{C_d}{N^2(0)} t.$$

Зависимость величины  $[\sigma_{\phi}^2(0)/\sigma_{\phi}^2(t)] - 1$  от времени  $t$  для разных температур приведена на рис. 2. Видно, что эти зависимости линейны при измерении в области низких температур в течение всего интервала времени; при высоких тем-

тературах при больших  $t$  наблюдается отклонение от линейности в связи с ростом скорости отжига при увеличении концентрации ОС со временем освещения. Таким образом, механизм образования ОС в отожженных в темноте пленках  $a\text{-Si : H}$  во всем исследованном интервале температур мономолекулярный. На вставке рис. 2 показана зависимость от температуры величины  $C_d/N^2(0)$ , определенной по наклонам кривых рис. 2. Эта зависимость экспоненциальна:  $C_d = C_0 \exp(-E_d/kT)$  с разными энергиями активации для низких и высоких температур:  $E_d=0.15$  эВ для  $T < 285$  К и  $E_d=0.35$  эВ для  $T > 285$  К.

В [4] исследовалась кинетика изменения  $\sigma'_\phi$  при  $T < 250$  К. Был установлен мономолекулярный тип кинетики и определена температурная зависимость коэффициента  $C=C_d/N^2(0)=C' \exp(-E_d/kT)$ , где  $E_d=0.15$  эВ. Такая температурная зависимость  $C$  объяснена авторами на основе предложенной в [3]

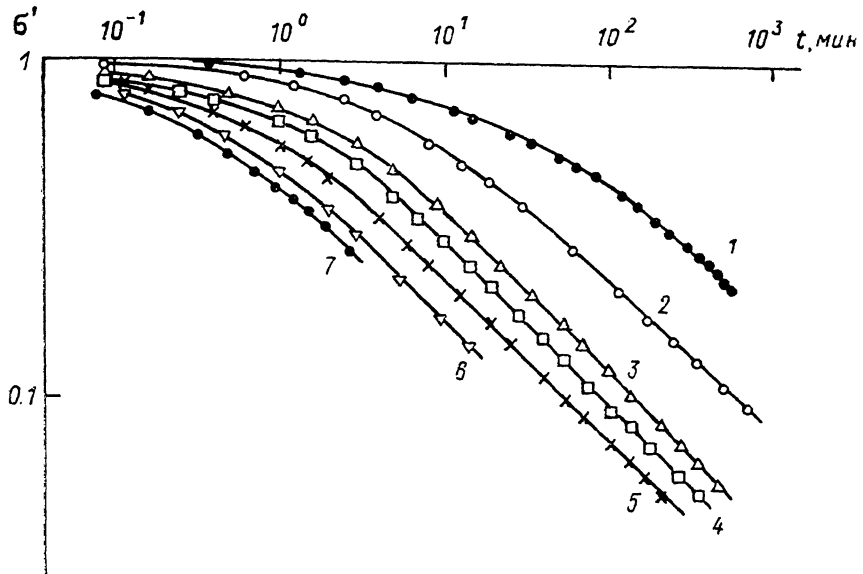


Рис. 1. Изменение нормированной фотопроводимости  $\sigma'(t)=\sigma_\phi(t)/\sigma_\phi(0)$  в зависимости от времени освещения белым светом ( $W=100$  мВт/см $^2$ ) при разных  $T$ .

1—7 соответствуют температурам 200, 240, 287, 302, 312, 320, 336 К.

модели рекомбинации электрона на состояния, расположенные на 0.15 эВ выше потолка валентной зоны. Таким образом, в [4] предполагалось, что  $N(0)$  не зависит от температуры.

Мы предполагаем, что  $N(0)$  не зависит от температуры, так как предварительный отжиг пленок перед всеми измерениями проводился в одинаковых условиях. Изменение энергии активации  $E_d$  можно объяснить изменением при повышении температуры энергетического положения состояний в хвосте валентной зоны, на которых идет рекомбинация электронов с захваченными на эти состояния дырками.

На рис. 3 показана кинетика изменения нормированной фотопроводимости  $\sigma'$  при  $T > 310$  К, когда существенно влияние отжига ОС. Видно, что при длительном освещении фотопроводимость достигает стационарного значения  $\sigma_s$ , которое устанавливается в результате уравнивания скоростей образования и отжига ОС по мере увеличения концентрации ОС при освещении пленки. Величина  $\sigma_s$  увеличивается при повышении температуры освещения по экспоненциальному закону с энергией активации  $E_s=0.27$  эВ (см. вставку на рис. 3). Так как коэффициенты скорости образования ОС  $C_d$  и  $\sigma_s$  экспоненциально зависят от температуры, предполагаем, что коэффициент скорости  $C_r$  в уравнении кинетики отжига

$$\frac{dN}{dt} = -NC_r \quad (4)$$

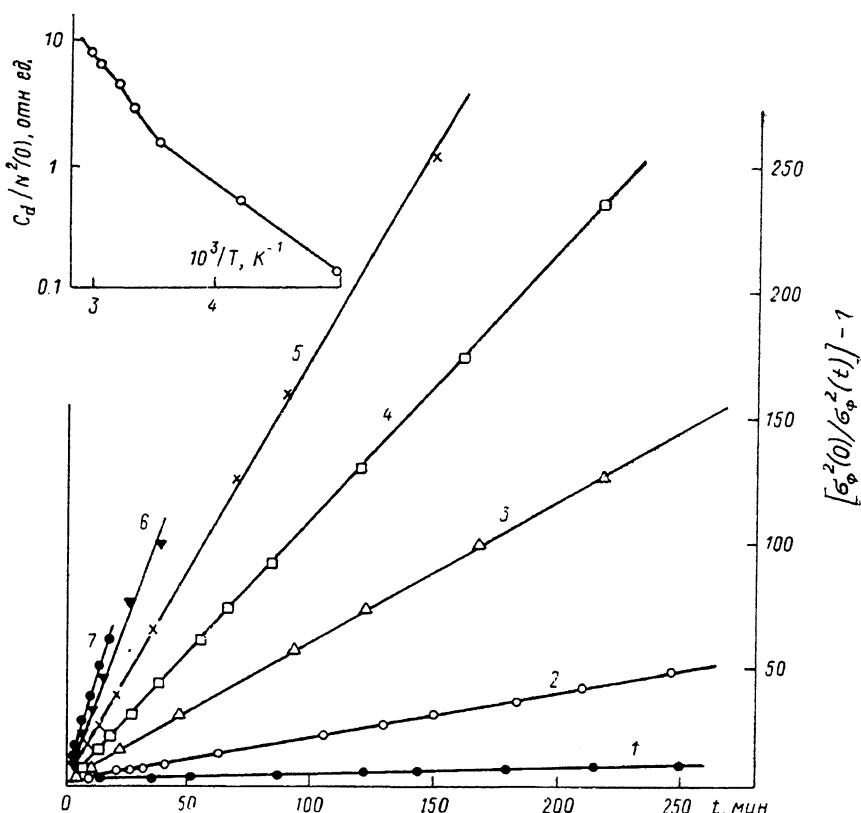


Рис. 2. Зависимость величины  $[\sigma_{\phi}^2(0)/\sigma_{\phi}^2(t) - 1]$  от времени освещения при разных  $T$ . 1—7 соответствуют температурам 200, 240, 287, 302, 312, 320 и 336 К. На вставке — зависимость величины  $C_d/N^2(0)$  — наклона прямых 1—7 рис. 2 от обратной температуры.

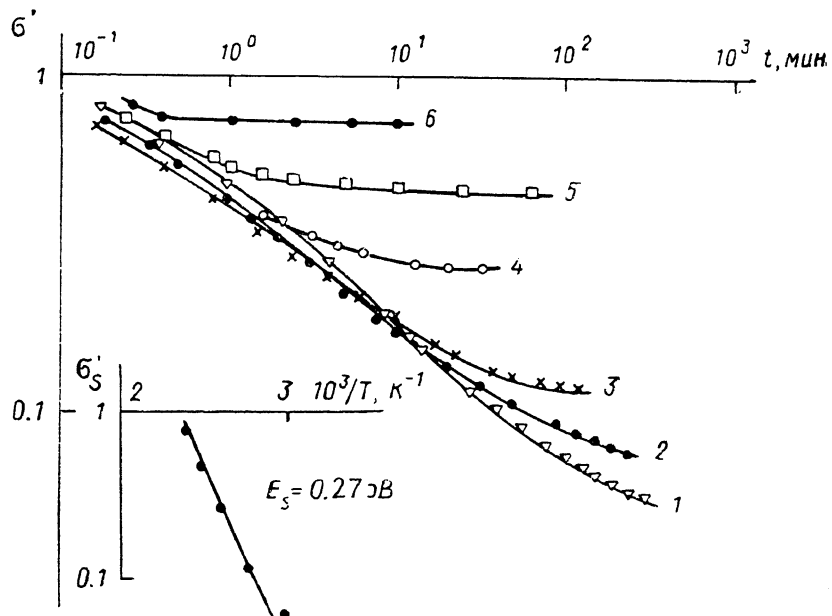


Рис. 3. Зависимость нормированной фотопроводимости  $\sigma'(t) = \sigma_{\phi}(t)/\sigma_{\phi}(0)$  от времени освещения пленки при разных  $T$ . 1—6 соответствуют 320, 336, 360, 385, 403 и 425 К. На вставке — зависимость стационарной нормированной фотопроводимости  $\sigma_s$  от  $1/T$ .

также имеет экспоненциальную зависимость:  $C_r = C' \exp(-E_r/kT)$ . Приравнивая правые части уравнений (3) и (4), для концентрации  $N_s$  и  $\sigma_s = \beta/N_s$ , получаем

$$N_s = \left(\frac{C_d}{C_r}\right)^{\frac{1}{1-\beta}}, \quad \sigma_s = \beta \left(\frac{C_r}{C_d}\right)^{\frac{1}{1-\beta}} = \beta' \exp \frac{-E_r - E_d}{2kT}. \quad (5)$$

В области  $T > 285$  К  $E_d = 0.35$  эВ,  $E_s = (E_r - E_d)/2 = 0.27$  эВ и, следовательно,  $E_r = 0.89$  эВ. Это значение  $E_r$  совпадает с минимальным значением энергии отжига ОС в нелегированных пленках  $a\text{-Si : H}$ , определенным в [1]. В этой же работе по значениям  $E_s$  и  $E_d$  была оценена величина  $E_r = 0.4$  эВ. Такое малое значение  $E_r$  авторы объясняют тем, что в соотношениях (4) и (5)  $E_r$  различны: при измерениях  $\sigma_s$  пленка освещена и  $E_r$  может быть меньше, чем при отжиге ОС в темноте. В настоящей работе показано, что это различие, если оно есть, не столь велико, тем более что определенное по  $E_s$  значение  $E_r$  может рассматриваться лишь как эффективное: коэффициент скорости отжига ОС в (4)  $C_r$  описывается одной эффективной энергией активации  $E_r$ .

#### С п и с о к л и т е р а т у р ы

- [1] Stutzmann M., Jackson W. B., Tsai C. C. // Phys. Rev. B. 1985. V. 32. N 1. P. 23—46.
- [2] Eser E. // J. Appl. Phys. 1986. V. 59. N 10. P. 3508—3515.
- [3] Hack M., Guha S., den Boer W. // Phys. Rev. B. 1986. V. 33. N 4. P. 2512—2519.
- [4] Eser E., Urbanski E. // Appl. Phys. Lett. 1987. V. 51. N 25. P. 2124—2127.
- [5] Курова И. А., Ормонт Н. Н., Читая К. Б. // ФТП. 1987. Т. 21. В. 4. С. 700—704.
- [6] Stutzmann M. // Phil. Mag. B. 1987. V. 56. N 1. P. 63—70.

Московский государственный  
университет им. М. В. Ломоносова

Получена 20.02.1989  
Принята к печати 10.07.1989